

Primljen / Received: 10.9.2015.  
 Ispravljen / Corrected: 2.3.2016.  
 Prihvaćen / Accepted: 22.7.2016.  
 Dostupno online / Available online: 10.4.2017.

# Optimiziranje veličine i udjela aktivnog ugljena pri modifikaciji bitumena

Autori:



Doc.dr.sc. **Murat Bostancioğlu**, dipl.ing.građ.  
 Sveučilište Cumhuriyet  
 Odjel za građevinarstvo  
 Sivas, Turska  
[bostancioglu@cumhuriyet.edu.tr](mailto:bostancioglu@cumhuriyet.edu.tr)



Izv.prof.dr.sc. **Şeref Oruç**, dipl.ing.građ.  
 Tehničko sveučilište Karadeniz  
 Odjel za građevinarstvo  
 Trabzon, Turska  
[oruc@ktu.edu.tr](mailto:oruc@ktu.edu.tr)

Stručni rad

**Murat Bostancioğlu, Şeref Oruç**

## Optimiziranje veličine i udjela aktivnog ugljena pri modifikaciji bitumena

Svrha je ovog rada istražiti učinke dodatka aktivnog ugljena ( $C_A$ ) na reološka svojstva bitumena te optimiziranje veličina i udjela aktivnog ugljena pri modifikaciji bitumena. Za modifikaciju bitumena vrednovana je primjena aktivnog ugljena proizvedenog iz otpadnih ljuški lješnjaka. Upotrijebljene su različite veličine i udjeli aktivnog ugljena. Rezultati ispitivanja pokazuju da je veličina čestica aktivnog ugljena manja od 0,063 mm najučinkovitija, a da modifikacija s aktivnim ugljenom povećava bitumensku konzistentnost i radna svojstva pri visokim temperaturama te umanjuje osjetljivost na temperaturu i promjenu mase.

**Ključne riječi:**

aktivni ugljen, modifikacija bitumena, dinamički smični reometar, starenje

Professional paper

**Murat Bostancioğlu, Şeref Oruç**

## Optimizing activated carbon size and ratio in bitumen modification

The aim of the study is to investigate the effects of activated carbon ( $C_A$ ) on the rheology of bitumen, and to optimize the activated carbon size and ratio in bitumen modification. The use of  $C_A$  produced from waste hazelnut shells in bitumen modification is evaluated. Different sizes and ratios of  $C_A$  are used. Test results show that a  $C_A$  particle size smaller than 0.063 mm is the most effective, and that the  $C_A$  modification increases the bitumen consistency and high temperature performance, while reducing the temperature susceptibility and weight change.

**Key words:**

activated carbon, modification of bitumen, dynamic shear rheometer, ageing

Fachbericht

**Murat Bostancioğlu, Şeref Oruç**

## Optimierung von Größe und Anteil der Aktivkohle bei Bitumenmodifikationen

Das Ziel dieser Arbeit besteht darin, die Auswirkungen des Zusatzes von Aktivkohle ( $C_A$ ) auf rheologische Eigenschaften von Bitumen zu untersuchen, sowie Größe und Anteil von Aktivkohle bei Bitumenmodifikationen zu optimieren. Dabei wurde der Zusatz aus Abfällen von Nussschalen gewonnener  $C_A$  bewertet. Es wurden verschiedene Größen und Anteile von  $C_A$  untersucht. Die Resultate der Untersuchungen zeigen, dass bei Größen unter 0,063 mm die  $C_A$  Teilchen am wirksamsten ist. Ebenso erhöht eine Modifikation mit  $C_A$  die Konsistenz des Bitumens, erleichtert die Bearbeitung bei hohen Temperaturen und mindert die Empfindlichkeit auf Temperaturänderungen sowie die Massenschwankung.

**Schlüsselwörter:**

Aktivkohle, Bitumenmodifikation, DSR, Alterung

## 1. Uvod

Bitumen je organska smjesa različitog kemijskog sastava. Primjenjuje se u brojne svrhe u cestogradnji zbog dobrog prijanjanja uz mineralne agregate i viskoelastičnih svojstava [1-3]. Nažalost, pri visokim temperaturama bitumen postaje tekuć, a pri niskim temperaturama krt što može ograničiti njegovu primjenu zbog pojave kolotraženja pri visokim temperaturama i pukotina uslijed niskih temperatura [1, 4]. Zbog teškog i frekventnog prometnog opterećenja, zajedno s klimatskim učincima, stvaraju se značajni kolotrazi i pukotine. U bitumenskoj industriji poboljšanje svojstava bitumena i bitumenskih smjesa uz pomoć prikladnih dodataka predstavlja važno područje istraživanja [5].

Dodaci koji se koriste za modifikaciju bitumena uključuju polimere, materijale koji sadrže ugljik i druge materijale različitog porijekla [6]. Modifikacijom bitumena kolnik pokazuje veću otpornost na trajnu deformaciju, na pojavu pukotina uslijed zamora materijala, termičko pucanje, isušivanje bitumenskog veziva i na temperaturne promjene [1, 4].

U ovom istraživanju korišten je aktivni ugljen ( $C_A$ ) aditiv od vrlo poroznog i amorfognog materijala na osnovi ugljika. S obzirom na njegov visok stupanj mikroporoznosti, služi za apsorpciju plinova i topivih tvari iz vode.  $C_A$  se proizvodi iz materijala s izvorom ugljika poput ljski jezgričavog voća, ljske kokosovog oraha, drva i ugljena [7-10].

Svrha ovog istraživanja je ustanoviti učinke dodavanja  $C_A$  na reološka svojstva modificiranog bitumena kroz standardna ispitivanja točke razmekšanja i penetracije, ispitivanje otpornosti na otvrdnjavanje (eng. *thin film oven test - TFOT*) i Superpave specifikacije: rotacijski viskomетar (eng. *rotational viscometer - RV*) i dinamički sмиčni reometar (eng. *dynamic shear rheometer - DSR*). Za ovo istraživanje korišten je  $C_A$  dobiven pirolizom ljski lješnjaka. Također su procijenjeni učinci veličine i udjela  $C_A$  na reološka svojstva.

## 2. Materijali i metode

U ovom radu korišten je bitumen klase ponašanja 50/70 (originalni bitumen) iz turske naftne rafinerije, Kinkale terminala (eng. *Turkish Petroleum Refinery*). Fizikalna i reološka svojstva originalnog bitumena prikazana su u tablici 1.

### 2.1. Proizvodnja i karakterizacija aktivnog ugljena

Aktivni ugljen ( $C_A$ ) je dobiven iz ljski lješnjaka porijeklom iz turske regije Giresun. Ljske su osušene, zdrobljene i prosijane na veličinu čestica od 1,0 do 2,0 milimetra. Primjenjena je kemijska aktivacija da bi se dobila površina porozne teksture. Za vrijeme aktivacijske procedure ljske su lješnjaka natopljene s 30 %  $H_2SO_4$ . Dobiveni uzorak, natopljen, stavljen je u peć i zagrijan ( $12.5\text{ }^{\circ}\text{C min}^{-1}$ ) do konačne karbonizacijske temperature od  $450\text{ }^{\circ}\text{C}$  na dva sata [7, 8, 10, 11]. Nakon hlađenja do sobne temperature, izvađeni proizvod je ispran

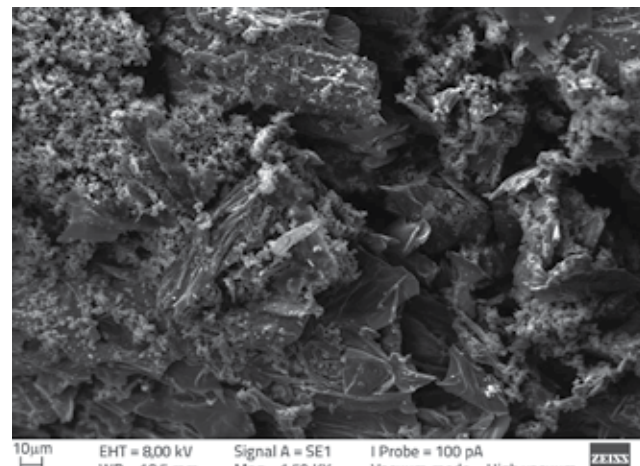
Tablica 1. Osnovna svojstva originalnog bitumena

Svojstva	Standard	Rezultati
Penetracija (0,1 mm), 100 g, 5 s	ASTM D5	57
Točka razmekšanja [ $^{\circ}\text{C}$ ]	ASTM D36	48
Viskoznost (cP, $135\text{ }^{\circ}\text{C}$ )	ASTM D4402	675
Viskoznost (cP, $165\text{ }^{\circ}\text{C}$ )	ASTM D4402	175
$G^*/\sin\delta$ (kPa, $58\text{ }^{\circ}\text{C}$ )	AASHTO T5	4,37
Indeks penetracije (PI)*	-	-1,41
<i>Nakon TFOT</i>		
Promjena mase [%]	ASTM D2872	0,93
Penetracija (0,1 mm), 100 g, 5 s	ASTM D5	33
Zadržana penetracija [%]	-	58
Točka razmekšanja [ $^{\circ}\text{C}$ ]	ASTM D36	56
Porast točke razmekšanja [ $^{\circ}\text{C}$ ]	-	8
Indeks penetracije (PI)	-	-0,72

1 cP = 0,001 Pa·s = 1 mPa·s  
 PI je izračunan pomoću formule:

$$PI = \frac{1952 - 500 \cdot \log(Pen_{25}) - 20 \cdot SP}{50 \cdot \log(Pen_{25}) - SP - 120} \quad (1)$$

gdje je  $Pen_{25}$  penetracija pri  $25\text{ }^{\circ}\text{C}$ , a SP je točka razmekšanja.



Slika 1. Površinska tekstura aktivnog ugljena ( $C_A$ )

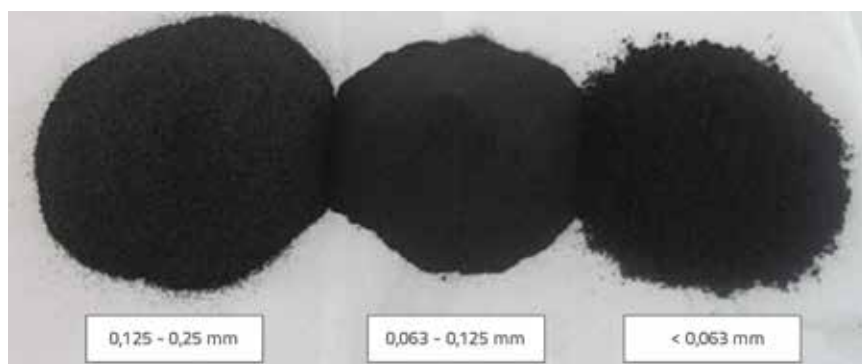
Tablica 2. Specifikacije aktivnog ugljena ( $C_A$ )

Specifikacija	$C_A$
Fiksirani ugljik [%]	49,2
Isparljiva tvar [%]	44,6
Pepeo [%]	6,0
Udio vlage [%]	4,9
Gustoća [g/cm <sup>3</sup> ]	1,96
Izgled	Crni
Oblik granula	Amorfni

destiliranim vodom sve dok nije postignut pH = 7,0 [7, 12, 13]. Porozna površinska tekstura  $C_A$  s makro, mikro i mezoporama, koje se heterogeno raspoređuju po površini, prikazana je na mikrofotografiji (slika 1.) dobivenoj skenirajućim elektronskim mikroskopom. Specifikacije  $C_A$  sumirane su u tablici 2.

## 2.2. Priprema modificiranih bitumena

Modificirani bitumeni pripremljeni su na temperaturi miješanja od 150 °C laboratorijskim mikserom Marshall pri rotaciji od 500 okretaja u minuti.  $C_A$  je dodan vrućem bitumenu u omjeru između 1 i 25 % (w/w) te miješan 45 minuta. Kategorije veličine  $C_A$  odabrane su kao veličina 1 (< 0,063 mm), veličina 2 (0,063 - 0,125 mm) i veličina 3 (0,125 - 0,25 mm) (slika 2.). Da bi se izbjegla aglomeracija  $C_A$  u bitumenu te osigurala homogenost smjesa,  $C_A$  je dodavan u malim količinama [4, 6].

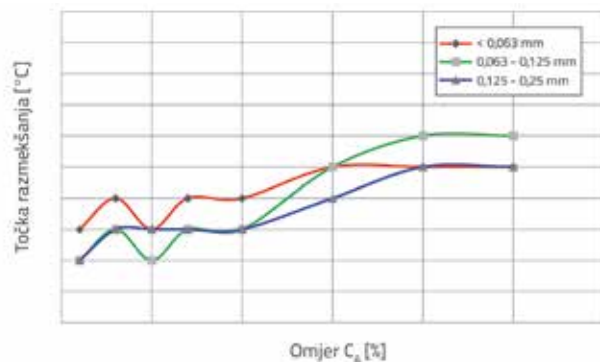


Slika 2. Veličine  $C_A$

## 3. Rezultati i rasprava

### 3.1. Rezultati ispitivanja točke razmekšanja i penetracije

Originalni i modificirani bitumeni podvrgnuti su standardnoj metodi prstena i kugle [14, 15] da bi se odredili parametri konzistencije. Kod originalnog bitumena izmjerena je točka razmekšanja od 48 °C. Kao što je prikazano na slici 3., vrijednosti točke razmekšanja modificiranih bitumena više su od originalnog bitumena.



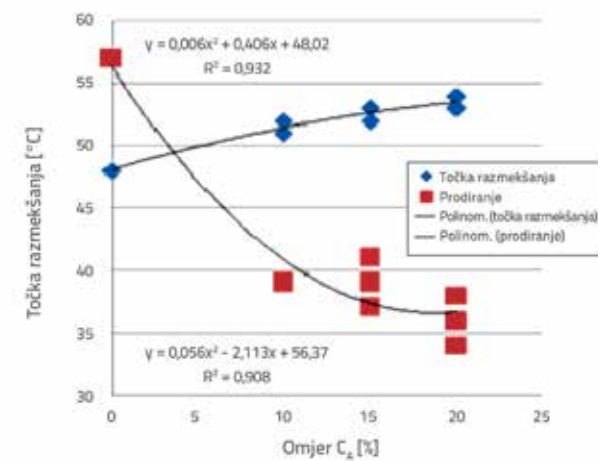
Slika 3. Rezultati točke razmekšanja modificiranih bitumena

Tablica 3. Učinkovite veličine i udjeli aktivnog ugljena ( $C_A$ )

Broj smjese	$C_A$ veličina [mm]	$C_A$ udio [%]
1	< 0,063	10
2	< 0,063	15
3	< 0,063	20
4	0,63 - 0,125	10
5	0,63 - 0,125	15
6	0,63 - 0,125	20
7	0,125 - 0,25	15
8	0,125 - 0,25	20

Porast točke razmekšanja, posebno pri omjerima od 10, 15 i 20 %, indikator je učinka učvršćivanja  $C_A$ . Najučinkovitije veličine i udjeli  $C_A$  određeni su prema rezultatima ispitivanja točke razmekšanja i prikazani u tablici 3. te su odabrani za daljnje ispitivanje.

Na bitumenima prikazanim u tablici 3. izveden je standardni test penetracije na 100 grama uzorka pri 25 °C, u vremenu od 5 sekundi. Nadalje, temperaturna osjetljivost bitumena izražena je prema indeksu penetracije (PI) koji je izračunan iz rezultata penetracije i točke razmekšanja. Temperaturna osjetljivost definira se kao promjena parametra konzistencije u funkciji temperature [14]. Učinak modifikacije pomoću  $C_A$  na svojstva originalnog bitumena prikazan je u tablici 4.: smanjenje penetracije i povišenje točke razmekšanja vidljivo je s povećanjem udjela  $C_A$ . Korelacije između točke razmekšanja, penetracije i udjela  $C_A$  prikazane su na slici 4.



Slika 4. Korelacija između točke razmekšanja i penetracije te udjela  $C_A$

Visoke vrijednosti koeficijenata korelacije (0,93 i 0,91) potvrđuju ovisnost penetracije i točke razmekšanja o  $C_A$ . Porast točke razmekšanja je povoljno jer je bitumen s višom točkom razmekšanja otporniji na pojavu kolotraženja. Modifikacija

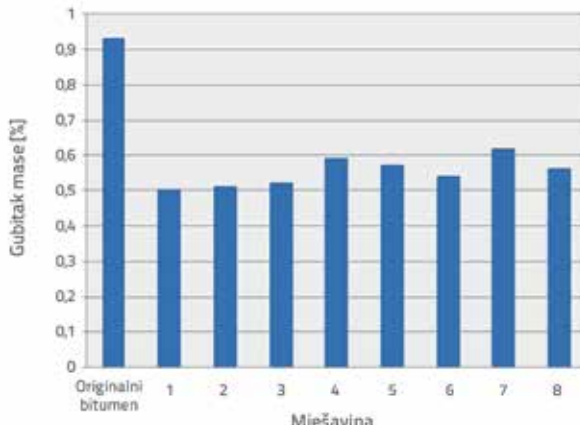
bitumena pomoću  $C_A$  smanjila je temperaturnu osjetljivost (određenu s PI) originalnog bitumena, naročito pri udjelu od 20 %. Niže vrijednosti PI upućuju na višu temperaturnu osjetljivost [14]. Utvrđeno je da je veličina 1 najučinkovitija za povećanje PI. Udio  $C_A$  od 20 % s veličinom 1 povećao je vrijednost PI od -1,41371 na -0,96942.

Tablica 4. Penetracije, točka razmekšanja i rezultati PI

Broj smjese	Točka razmekšanja [ $^{\circ}\text{C}$ ]	Penetracija (0,1 mm)	PI
Originalni bitumen	48	57	-1,41371
1	52	39	-1,25281
2	53	39	-1,02576
3	54	36	-0,96942
4	51	39	-1,48483
5	53	37	-1,13404
6	54	34	-1,08428
7	52	41	-1,14902
8	53	38	-1,07951

### 3.2. TFOT rezultati

Otpornost na otvrdnjavanje bitumena izvedeno je pomoću TFOT (ASTM D 1754) u standardiziranim uvjetima, pri  $163^{\circ}\text{C}$  tijekom pet sati [16]. Bitumeni nakon starenja podvrgnuti su testovima penetracije i točke razmekšanja. Rezultati ispitivanja pomoću TFOT prikazani su na slici 5. i u tablici 5. Modifikacija originalnog bitumena pomoću  $C_A$  smanjila je promjenu mase. Kao što se vidi na slici 5., povećanje udjela  $C_A$  poboljšava karakteristike starenja originalnog bitumena. Prikazano poboljšanje se može objasniti djelovanjem između funkcionalnih grupa  $C_A$  i hlapivih sastojaka bitumena. Kao što je vidljivo na slici 5., najučinkovitija veličina je veličina 1. Prema ispitivanjima penetracije i točke razmekšanja nakon TFOT, vidljivo je da se penetracija smanjuje, dok se točke razmekšanja i PI povećavaju u usporedbi s originalnim bitumenom.



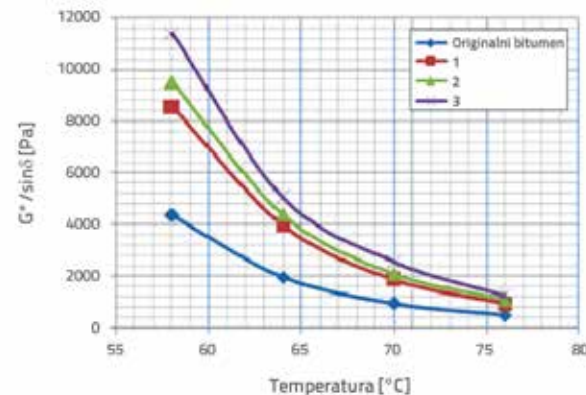
Slika 5. Promjena mase

Tablica 5. Karakteristike bitumena nakon TFOT

Broj smjese	Penetracija nakon TFOT (0,1 mm)	Točka razmekšanja nakon TFOT [ $^{\circ}\text{C}$ ]	PI nakon TFOT
Originalni bitumen	33	56	-0,72123
1	30	59	-0,31324
2	27	59	-0,51924
3	29	59	-0,38049
4	28	58	-0,64242
5	25	59	-0,66425
6	24	60	-0,55279
7	27	60	-0,33027
8	27	60	-0,33027

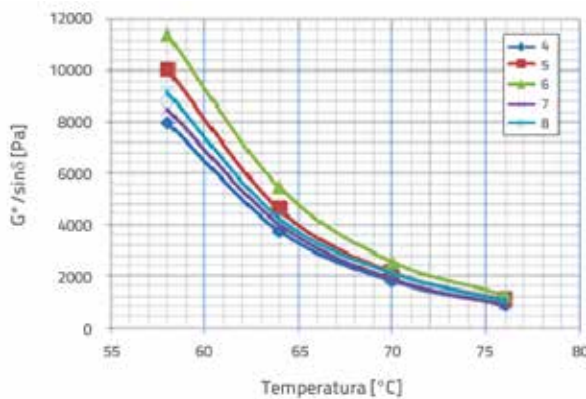
### 3.3. Rezultati ispitivanja DSR-a

Ispitivanje DSR-om provedeno je na originalnom i  $C_A$ -modificiranom bitumenu upotrebom reometra Bohlin DSRII pod kontroliranim tlakom od 120 Pa na temperaturama između  $58^{\circ}\text{C}$  i  $76^{\circ}\text{C}$  s prirastom od  $6^{\circ}\text{C}$  i frekvencijom od 10 rad/s, te primjenom geometrije paralelnih ploča promjera 25 milimetara s razmakom između ploča od 1 mm. Da bi se odredila visokotemperaturna svojstva bitumena, ispitivanjem je određen kompleksni posmični modul ( $G^*$ ) i fazni kut ( $\delta$ ), glavni viskoelastični parametri. Parametar  $G^*/\sin\delta$ , koji određuje doprinos bitumena pri pojavi trajnih deformacija na visokim temperaturama, izračunan je i uspoređen sa specifikacijama Superpave testa za asfaltni bitumen, prema AASHTO TP5. Specifikacija provjerava da li je parametar  $G^*/\sin\delta$  manji od 1000 Pa za bitumene prije starenja [17, 18]. Rezultati DSR ispitivanja (vrijednosti  $G^*/\sin\delta$ ) prikazani su na slikama 6. i 7.

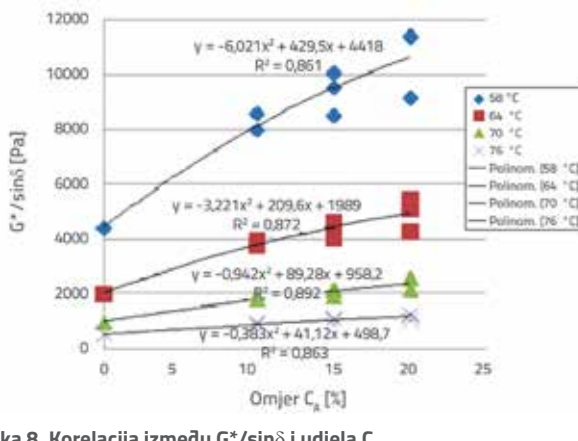
Slika 6.  $G^*/\sin\delta$  za originalni bitumen i smjese 1, 2 i 3 (veličina 1)

Prema specifikacijama Superpave PG, originalni bitumen pokazuje vrijednost  $G^*/\sin\delta$  od 1000 Pa pri  $64^{\circ}\text{C}$ . Smjese 1, 4 i 7 zadovoljavaju visokotemperaturna svojstva pri  $70^{\circ}\text{C}$ , a sve druge smjese pri  $76^{\circ}\text{C}$ . Kao što je vidljivo na slikama 6. i 7.,

povećani udio  $C_A$  poboljšava parametar kolotraženja. Korelacije između udjela  $C_A$  i vrijednosti  $G^*/\sin\delta$  prikazane su na slici 8. Vrijednosti  $G^*/\sin\delta$  pri  $76^\circ\text{C}$  s udjelom od 20 % aditiva pokazuju da veličine 1 i 2 imaju sličan učinak na parametar kolotraženja, a veličina 3 daje najlošije vrijednosti. To se može objasniti separacijom grubog  $C_A$  koji dovodi do opadanja homogenosti.



Slika 7.  $G^*/\sin\delta$  za smjese 4, 5, 6, 7 i 8 (veličine 2 i 3)

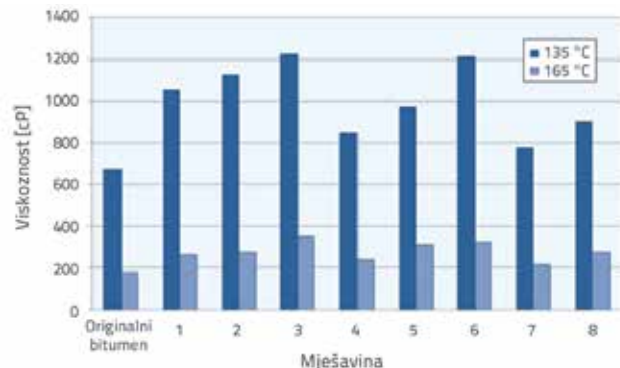


Slika 8. Korelacija između  $G^*/\sin\delta$  i udjela  $C_A$

### 3.4. Rezultati testa RV

Viskoznost dobivena na osnovi RV testa mjera je unutarnjeg trenja bitumena. Viskoznost na  $135^\circ\text{C}$  obično služi kao mjera ugradljivosti bitumena prema specifikacijama Superpave. RV također mjeri reološka svojstva bitumena kako bi ocijenio njegovu sposobnost pumpanja pri dostavi i ugradnji. Stoga su u ovom ispitivanju upotrijebljene povišene temperature od  $135^\circ\text{C}$  i  $165^\circ\text{C}$  [17, 19]. Viskoznost je određena mjeranjem zakretnog

momenta koji je potreban za održavanje konstantne brzine rotiranja (20 okretaja u minuti) cilindrične osovine uronjene u bitumen pri konstantnoj temperaturi [20]. Rezultati testa RV na  $135$  i  $165^\circ\text{C}$  prikazani su na slici 9.



Slika 9. Rezultati RV bitumena ( $1 \text{ cP} = 0,001 \text{ Pa}\cdot\text{s} = 1 \text{ mPa}\cdot\text{s}$ )

Viskoznost daje jasnu indikaciju učvršćujućeg učinka  $C_A$  modifikacije s visokim udjelom aditiva. Veličina 1 je najučinkovitija veličina porasta viskoznosti za sve udjele. Utvrđeno je da je viskoznost za smjese  $C_A$  veličine 3, s udjelom aditiva od 20 % na  $135^\circ\text{C}$ , 26 % manja nego kod druge dvije veličine. Uočeno smanjenje viskoznosti se može objasniti nehomogenošću smjese što su pokazali i rezultati DSR ispitivanja.

### 4. Zaključak

Prema rezultatima ispitivanja mogu se istaknuti sljedeći zaključci:

- Krutost i konzistencija bitumena jasno se povećavaju dodavanjem  $C_A$ .
- Prema rezultatima ispitivanja točke razmekšanja, optimalni udio aditiva varira između 10 i 20 %.
- Vrijednosti PI pokazuju da se temperaturna osjetljivost originalnog bitumena smanjuje modifikacijom sa  $C_A$ . Za sprečavanje temperaturne osjetljivosti, veličina 1 i udio od 20 % aditiva pokazali su se najučinkovitiji.
- $C_A$  modifikacija utječe na karakteristike starenja originalnog bitumena i smanjuje promjenu mase nakon starenja.
- Pri DSR ispitivanju  $C_A$  modifikacija pridonosi višoj vrijednosti  $G^*/\sin\delta$ . Usporede li se tri različite veličine, veličina 3 je slabija od druge dvije. Smanjenje parametra kolotraženja s veličinom 3 je rezultat separacije grubog  $C_A$  i smanjenja homogenosti.
- Viskoznost se povećava i ugradivost se smanjuje modificiranjem bitumena s dodatkom  $C_A$ .

## LITERATURA

- [1] Yu, J., Zeng, X., Wu, S., Wang, L., Liu, G.: Preparation and properties of montmorillonite modified asphalts, *Mater Sci Eng*, 447 (2007), pp. 233-238, <https://doi.org/10.1016/j.msea.2006.10.037>
- [2] Martinez, A., Paez, A., Martin, N.: Rheological modification of bitumens with new poly-functionalized furfural analogs, *Fuel*, 87 (2008), pp. 1148-1154, <https://doi.org/10.1016/j.fuel.2007.07.010>

- [3] Kok, B.V., Yilmaz, M., Sengoz, B., Sengur, A., Avci, E.: Investigation of complex modulus of base and SBS modified bitumen with artificial neural networks, *Expert Syst Appl*, 37 (2010), pp. 7775-7780, <https://doi.org/10.1016/j.eswa.2010.04.063>
- [4] Zhang, J., Wang, J., Wu, Y., Wang, Y., Wang, Y.: Evaluation of the improved properties of SBR/weathered coal modified bitumen containing carbon black, *Constr Build Mater*, 23 (2009), pp. 2678-2687, <https://doi.org/10.1016/j.conbuildmat.2008.12.020>
- [5] Arslan, D., Gürü, M., Çubuk, M.K., Çubuk, M.: Improvement of bitumen and bituminous mixtures performances by triethylene glycol based synthetic polyboron, *Constr Build Mater*, 25 (2011), pp. 3863-3868, <https://doi.org/10.1016/j.conbuildmat.2011.04.007>
- [6] Chebil, S., Chaala, A., Roy, C.: Use of softwood bark charcoal as a modifier for road bitumen, *Fuel*, 79 (2000), pp. 671-683, [https://doi.org/10.1016/S0016-2361\(99\)00196-9](https://doi.org/10.1016/S0016-2361(99)00196-9)
- [7] Şen, N.: Production of activated carbon from hazelnut shell and its characterization, Elazığ Turkey, Fırat University, MSc thesis, 2009.
- [8] Çuhadar, Ç.: Production and characterization of activated carbon from hazelnut shell and hazelnut husk, Ankara Turkey, Middle East Technical University, MSc thesis, 2005.
- [9] Hayashi, J., Kazehaya, A., Muroyama, K., Watkinson, A.P.: Preparation of activated carbon from lignin by chemical activation, *Carbon*, 38 (2000) pp. 1873-1878, [https://doi.org/10.1016/S0008-6223\(00\)00027-0](https://doi.org/10.1016/S0008-6223(00)00027-0)
- [10] Guo, J., Xu, W.S., Chen, Y.L., Lua, A.C.: Adsorption of NH<sub>3</sub> onto activated carbon prepared from palm shells impregnated with H<sub>2</sub>SO<sub>4</sub>, *J Colloid Interf Sci*, 281 (2005), pp. 285-290, <https://doi.org/10.1016/j.jcis.2004.08.101>
- [11] Sabio, M.M., Reinoso, F.R.: Role of chemical activation in the development of carbon porosity, *Colloid Surface A*, 241 (2004), pp. 15-25, <https://doi.org/10.1016/j.colsurfa.2004.04.007>
- [12] Akyıldız, H.: Production of activated carbon from olive stones with H<sub>3</sub>PO<sub>4</sub> activation, İstanbul Turkey, İstanbul Technical University, MSc thesis, 2007.
- [13] Kim, D.S.: Activated carbon from peach stones using phosphoric acid activation at medium temperatures, *J Environ Sci Heal A*, 39 (2004) 5, pp. 1301-1318, <https://doi.org/10.1081/ESE-120030333>
- [14] Sengoz, B., Isikyakar, G.: Evaluation of the properties and microstructure of SBS and EVA polymer modified bitumen, *Constr Build Mater*, 22 (2008), pp. 1897-1905, <https://doi.org/10.1016/j.conbuildmat.2007.07.013>
- [15] Hadavand, B.S.: Bitumen modification with polysulphide polymer prepared from heavy end waste, *Iran Polym J*, 19 (2010) 5, pp. 363-373.
- [16] Lu, X., Isacsson, U.: Effect of ageing on bitumen chemistry and rheology, *Constr Build Mater*, 16 (2002), pp. 15-22, [https://doi.org/10.1016/S0950-0618\(01\)00033-2](https://doi.org/10.1016/S0950-0618(01)00033-2)
- [17] Kök, B.V., Çolak, H.: Laboratory comparison of the crumb-rubber and SBS modified bitumen and hot mix asphalt, *Constr Build Mater*, 25 (2011), pp. 3204-3212, <https://doi.org/10.1016/j.conbuildmat.2011.03.005>
- [18] Kök, B.V., Yilmaz, M., Guler, M.: Evaluation of high temperature performance of SBS + gilsonite modified binder, *Fuel*, 90 (2011), pp. 3093-3099, <https://doi.org/10.1016/j.fuel.2011.05.021>
- [19] Zargar, M., Ahmadiania, E., Asli, H., Karim, M.R.: Investigation of the possibility of using waste cooking oil as a rejuvenating agent for aged bitumen, *J Hazard Mater*, 233-4 (2012), pp. 254-258, <https://doi.org/10.1016/j.jhazmat.2012.06.021>
- [20] Yilmaz, M., Kok, B.V.: Effects of ferrochromium slag with neat and polymer modified binders in hot bituminous mix, *Indian J Eng Mater S*, 16 (2009), pp. 310-318.